

福井工業高等専門学校 ○正会員 広部英一
 金沢大学 工学部 正会員 石田 啓
 金沢大学 工学部 正会員 高瀬信忠

1. はじめに 海浜過程における岸冲漂砂の移動機構を解明するためには、波の湧水変形と碎波後の流速場の特性を知らなければならぬ。碎波点や碎波帯内における流速や乱れの時空間分布については、最近多くの成果が発表されているが、海浜断面全域についての観測や実験結果は少ない。特に底質の砂移動を取り扱う場合、底面付近の流速場の現象把握が必要であり、したがって、ここでは、二次元造波水槽内に一様勾配斜面を設置し、崩れ波、巻き波、碎け寄せ波の各碎波形状における底面流速を測定し、その変動特性を調べた。また斜面上の砂粒子の移動を追跡し、底面流速変動との関連性を調べた。

2. 実験条件 実験は幅60cm、深さ80cm、長さ26mの造波水槽で行った。斜面には、15°勾配の鋼製アングル上に、耐水性ペニヤ板を張り付けたものを用いた。実験条件を表-1に示すが、波は3種類の碎波形状が生じるよう、周期と波高を選定した。

3. データーの解析法 (1) 底面流速の測定法 図-1に示す16個所の測定点で、円筒型の熱膜流速計を用いて底面上5mmの高さで流速を測定した。同時に波高も、容量式波高計により一様水深部と流速測定位置で測定した。各波に対し、各測定点ごとの流速と波高を、サンプリング間隔0.01secごと50sec間記録した。記録は、AD変換器を内蔵したマイコンを、流速計と波高計のアンプに直接接続し、測定後、フロッピーディスクに転送して保存した。また円筒型の熱膜流速計は、流速の絶対値のみが測定されるので、画面内に0.01secごとの経過時間を表示するビデオカメラで測定点側面から撮影し、微細なゴミの移動方向が、一周期上のどの時刻で変化するかを観測して目安をつけ、その時刻近傍で流速が最小値となる時刻を流速方向反転の時刻とした。流速が最小値となる時刻の検索や流速の向きの反転は、マイコンのプログラムにより行ない、その結果を水位とともにCRT画面に出力して確認した。乱れ成分の抽出には、数値フィルターを用いたが、この際、乱れ成分の自己相關関数に、波の周期に相当する周期変動が残らないように留意した。

(2) 砂粒子の移動速度および質量輸送速度の測定法 底質としては、ほぼ球状の径約4mmと径約2mmの砂粒子を用いた。水槽内の斜面上に格子状に線を引き、図-1に示した16個所の測定点に砂粒子を置き、その動きをビデオカメラで撮影した。後にCRT画面に、コマ送りで再成し、砂粒子の移動を追跡した。また、底面における質量輸送速度として、径約3mmのボリスチレン粒子の動きを、上記の方法で追跡する方法を求めた。

表-1 実験条件

碎波形状	周期	沖波波高	沖波 波形勾配	碎波点 X _b
崩れ波	1.0 sec	6.3 cm	0.041	239 cm
巻き波	1.5 sec	5.6 cm	0.016	255 cm
碎け寄せ波	2.0 sec	3.7 cm	0.004	184 cm

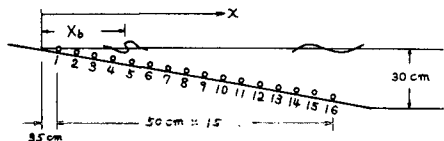


図-1 海浜断面形状と測定点

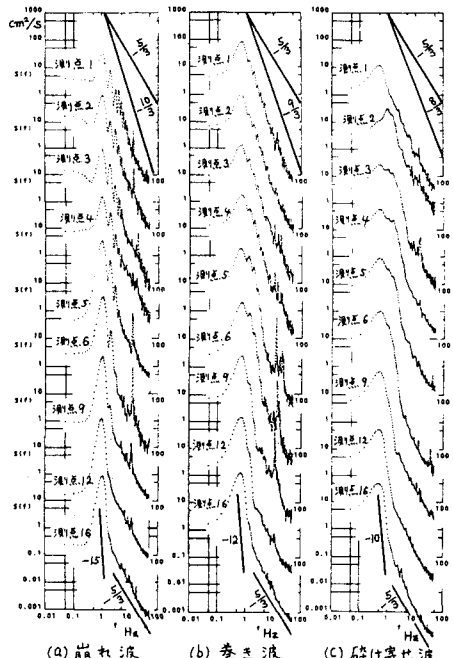


図-2 底面流速のパワースペクトル

4. 實験結果と考察

(1) 底面流速のパワースペクトル

図-2に各測定点における流速のパワースペクトルを示す。スペクトル形はどの碎波形態の場合も、周期波成分に相当するエネルギー生成領域と、乱れ成分に相当する慣性領域が、明確に表われている。乱れ成分の $3 \sim 5 \text{ Hz} < f_0$ における \bar{U} は、どの測定点も $\frac{1}{f_0}$ 乗に比例してあり、また周期波成分の $f_0 < 3 \sim 5 \text{ Hz}$ における \bar{U} は、測点16では $-15 \sim -10$ 乗に比例しているもののが、勾配は次第に緩やかになり、測点1では、 $-\frac{10}{3} \sim -\frac{8}{3}$ 乗に比例している。

(2) 底面流速変動の場所的分布 図-3に一周期間の質量輸送速度 \bar{U} 、定常流速 \bar{U}_s 、流速変動の skewness、乱れ強度 $\sqrt{\overline{U^2}}$ を示す。 \bar{U} はポリスチレン粒子5個分の平均値である。その他は20個分の平均値である。 \bar{U} と \bar{U}_s は、沖浜帶では相互に異なる傾向を示すが、崩れ波と巻き波の碎波帯では、相方共に同程度の沖向主流流れがある。skewnessは、沖より碎波点にかけてどの波も値が増加し、碎波点から岸までの減少していき、碎け寄せ波では余り減少せず、岸沖方向の流速は、非対称性のままである。

(3) 底面砂粒子の移動速度の場所的分布 図-4には、各測定点で測定された5個分の砂粒子の一周期間の移動速度の平均値 \bar{U}_s が示されている。これによると、粒径の大きい4mm砂粒子は崩れ波では $0.5 < \frac{\bar{U}_s}{X_b} < 0.8$ のつつ込み点附近と $1.6 < \frac{\bar{U}_s}{X_b}$ の沖浜帶で沖向きに動き、巻き波でもこの傾向がみられるが、碎け寄せ波では、全測定点で岸向きの移動となっている。これに対し、粒径の小さい2mm砂粒子は、すべて岸向きに移動するか、停止したままである。

(4) 底面流速変動と底面砂粒子移動との関係 砂粒子の移動要因と、底面の質量輸送速度や流速変動の非対称性と考え、その関係をみたものが図-5である。これによると、 \bar{U} と \bar{U}_s の関係および skewness と \bar{U}_s の関係とともに、海岸全域において共通の一価的な関係を見い出す事は出来ない。巻き波と碎け寄せ波では、沖浜帶にあり \bar{U} や skewness との相間がみられるが、つつ込み点では碎波による乱れの影響が大きいようであり、沖浜帶では斜面の重力効果が大きいようである。 \bar{U} と \bar{U}_s の関係において、第3、第4象限の点がつつ込み点の砂粒子である。第2象限の点が沖浜帶で沖方向に移動した区間の砂粒子である。なお \bar{U}_s は、一周期間の岸冲方向の移動の積分値であるが、一周期間内の砂粒子の移動パターンには、図-6に示すように3種のパターンがあった。

文部省河川課研究報告、21巻2号 PR44-106. 3)岩垣・喜久・田中、港湾技術報告、第29回海講、PR40-44.

2) 濱田・近藤・田中、港湾技術報告、21巻2号 PR44-106. 3)岩垣・喜久・田中、第28回海講、PR42-246.

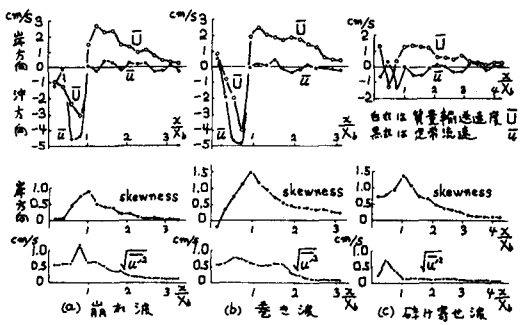


図-3 底面流速変動の場所的分布 (\bar{U} , \bar{U}_s , skewness, $\sqrt{\overline{U^2}}$)

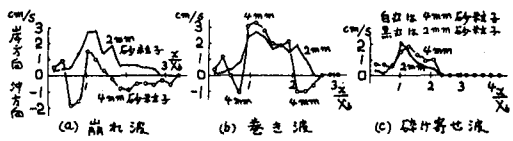


図-4 底面砂粒子の移動速度の場所的分布

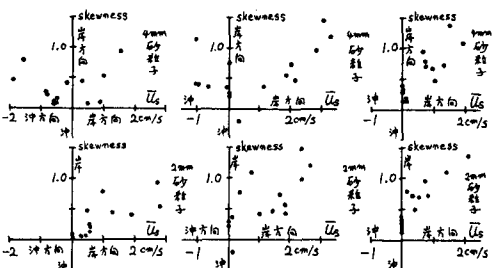
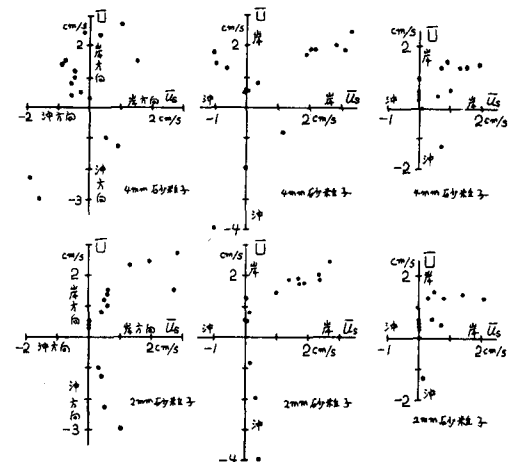


図-5 底面流速変動と底面砂粒子移動との関係